

ИССЛЕДОВАНИЯ СТАБИЛЬНОСТИ ПРОТОЭНСТАТИТА В СТЕАТИТОВЫХ МАТЕРИАЛАХ

П. Г. УСОВ, В. И. ВЕРЕЩАГИН

(Представлена научным семинаром кафедры технологии силикатов)

Для стеатитовых материалов характерно такое нежелательное явление, как старение [1]. К одной из причин старения относят нестабильность кристаллической фазы стеатитовой керамики [2]. Кристаллическая фаза получаемых в настоящее время стеатитовых материалов представлена протоэнстатитом, который является равновесной высокотемпературной модификацией метасиликата магния [3]. Низкотемпературной модификацией $MgSiO_3$ выступает клиноэнстатит. Определенно, стабилизации протоэнстатита в черепке стеатитовой керамики способствует стеклофаза, которой около 30%, но представляет интерес, с точки зрения теории и практики, насколько устойчиво метастабильное состояние протоэнстатита в керамике и какие факторы влияют на его стабильность. В работе изложен метод определения нестабильности протоэнстатита в стеатитовом материале на базе рентгеноструктурного анализа. Применение рентгеновского анализа в распознавании модификации $MgSiO_3$ имеет большие преимущества в сравнении с петрографическим, который прежде для этого использовался, а именно:

- 1) не является помехой тонкая структура материала и тесное срастание кристаллов $MgSiO_3$ со стеклом;
- 2) не обязательно растирать образец (что иногда очень важно);
- 3) выше объективность результатов анализа.

Долгое время существование протоэнстатита как самостоятельной фазы метасиликата магния отрицалось. Это было доказано с помощью рентгеноструктурного анализа, после чего были определены оптические константы протоэнстатита. В нашей работе петрографический анализ использован для определения микроструктуры исследуемых материалов.

Рентгеновские константы чистых модификаций приведены в табл. 1 (дифрактометр УРС 50-И, антикатод — Cu).

По данным рентгеновского анализа исследуемых образцов керамики характеризовалась степень несовершенства (дефектность) структуры протоэнстатита. Для этого мы пользовались полушириной рентгеновской дифракции протоэнстатитовых линий $d = 2,70$; $d = 1,96$; $d = 1,49$ и $d = 1,31\text{\AA}$, практически не взаимодействующих с максимумами дифракционных отражений клиноэнстатита. Такой метод был применен В. А. Броном [4] при исследовании структуры периклаза. Полуширину рентгеновской интерференции подсчитывали как частное от деления площади пика на его высоту. Количественная оценка образую-

Таблица 1

Рентгеновские константы чистых модификаций $MgSiO_3$
 (антикатод — Cu)

Протоэнстатит		Клиноэнстатит		Протоэнстатит		Клиноэнстатит	
$d(\text{\AA})$	I/I_1	$d(\text{\AA})$	I/I_1	$d(\text{\AA})$	I/I_1	$d(\text{\AA})$	I/I_1
4,05	1,0	—	—	1,80	0,5	1,78	2,0
3,49	2,3	3,50	1,5	—	—	1,74	1,5
—	—	3,26	3,5	1,71	2,0	—	—
3,21	4,0	—	—	—	—	1,68	0,5
3,17	10,0	3,17	7,0	1,65	1,5	—	—
—	—	2,96	5,0	1,64	2,0	1,64	0,5
2,91	4,0	—	—	1,61	1,5	1,60	4,0
—	—	2,86	10,0	1,58	0,5	—	—
2,71	2,5	—	—	1,56	0,5	—	—
2,55	3,5	2,52	2,5	1,51	0,5	1,52	3,0
2,46	2,0	2,45	2,5	1,49	4,0	1,47	1,0
2,30	2,0	2,33	1,0	1,46	3,0	1,45	4,6
—	—	2,28	0,5	1,40	1,0	—	—
2,23	1,0	2,20	1,0	1,37	0,7	1,36	3,5
2,19	1,0	—	—	1,35	1,0	1,34	0,9
2,10	0,5	2,10	5	—	—	1,32	1,0
2,05	0,5	2,00	1,0	1,31	2,0	—	—
1,97	5,0	1,97	0,5	—	—	—	—
—	—	1,93	1,0	—	—	—	—
1,89	0,5	—	—	—	—	—	—

щегося в результате превращений клиноэнстатита проводилась по соотношению площадей дифракционных максимумов $d=1,96 \text{ \AA}$ и $d=2,10 \text{ \AA}$. Максимумы эти средней интенсивности, но они имеют то преимущество перед более интенсивными отражениями, что не взаимодействуют между собой, когда проба представляет собой смесь модификаций $MgSiO_3$. По данным рентгеновского анализа смесей с известными соотношениями модификаций была получена зависимость количества протоэнстатита в пробе от соотношения площадей $Sd=1,96$ и $Sd=2,10$ (рис. 1), которая использовалась в наших исследованиях в качестве эталона.

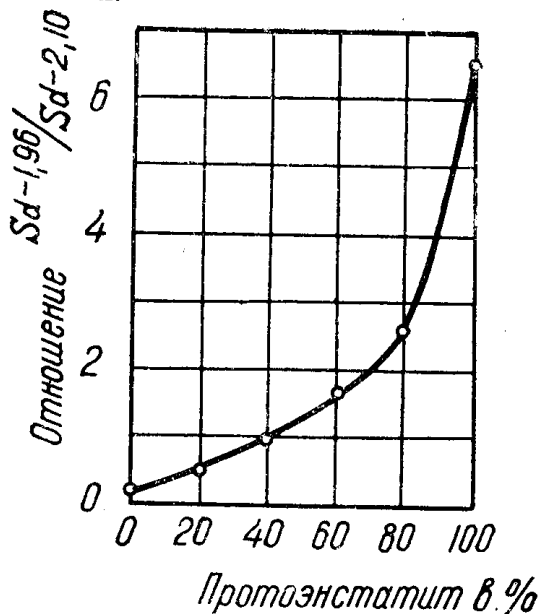


Рис. 1. Зависимость величин отношения площадей рентгеновской дифракции для $d=1,96 \text{ \AA}$ и $d=2,10 \text{ \AA}$ от количественных соотношений протоэнстатита и клиноэнстатита в пробе

Некоторую качественную оценку в соотношении модификаций магнезиолитата магния дает интервал углов 2Θ на рентгенограмме между главными отражениями $d=3,17 \text{ \AA}$; $d=2,90 \pm 2,86 \text{ \AA}$. Так, для 100%-ного протоэнстатита этот интервал $\Delta 2\Theta = 2^\circ 38' \pm 2'$, а для клиноэнстатита $\Delta 2\Theta = 3^\circ 00'$. В пробах со смесью этих модификаций максимумы $d=2,90 \text{ \AA}$ и $d=2,86 \text{ \AA}$ взаимодействуют между собой, и расстояние суммарного индекса от индекса $d=3,17 \text{ \AA}$ в некоторой степени характеризует соотношение модификацией $MgSiO_3$. Все эти показатели были использованы в комплексе. Нестабильность протоэнстатита в черепке стеатитовой керамики обнаруживается при растирании черепка, а именно: часть протоэнстатита превращается в клиноэнстатит; увеличивается несовершенство (дефектность) структуры сохранившегося протоэнстатита, что предполагает возможность его превращений в дальнейшем. (Пробы растирались до прохождения через сито № 0060; размер частиц меньше 60 микрон).

Наши исследования показали, что стабильность протоэнстатита в черепке стеатитовой керамики находится в прямой зависимости от микроструктуры материала, являясь функцией размера кристаллов $MgSiO_3$. Было исследовано несколько проб с различными микроструктурами (табл. 2). В более грубозернистом материале (проба 1) растирание способствует превращению большего количества протоэнстатита, и несовершенство структуры сохранившегося выражения сильнее. Растирание стеатитового материала с тонкой структурой, где размер кристаллов $MgSiO_3$ около одного микрона, не приводит к изменению фазового состава пробы и не влияет на состояния внутренней структуры протоэнстатита (проба 3). Полуширина рентгеновской интерференции характерных протоэнстатиту максимумов остается постоянной.

Выводы

- Сравнивая результаты рентгеновского анализа стеатитовой керамики с неразрушенного образца и растертой пробы, можно оценить материал в отношении стабильности его кристаллической фазы, что имеет большое значение при исследовании явления старения керамики.
- Предлагаемый метод можно успешно использовать для контроля качества материала готовых стеатитовых изделий.

ЛИТЕРАТУРА

- Н. П. Богородицкий и др. Радиокерамика. Госэнергоиздат, М., 1963.
- А. Палацкий. Техническая керамика. Госэнергоиздат. 1959.
- Н. А. Торопов, В. П. Барзаковский и др. Диаграммы состояния силикатных систем. Справочник. «Наука», М.-Л., 1965.
- В. А. Брон, М. И. Дисперова, Л. П. Судакова. Влияние температуры нагрева на дефектность кристаллической решетки окиси магния и способность ее к спеканию. «Неорг. материалы». Изв. АН СССР, «Наука», 1965.

Таблица 2
Данные обработки рентгенограмм стекатитовых материалов различной микроструктуры

Микроструктура материала	Вид пробы	S/h максимумов протоэнстита (d Å)			$\Delta 2\Theta^\circ$	Количество клинозионитата в пробе по $Sq - 1,96$, $Sd - 2,10$, $(\%)$
		2,70	1,96	1,49		
Средний размер кристаллов 8—10 мк отдельные 25 мк	диск порошок — 60 мк	0,53 0,63	0,6 0,67	0,67 0,75	0,65 0,85	2°39' 2°47'
Средний размер кристаллов 5—7 мк отдельные 15—20 мк	диск порошок — 60 мк	0,51 0,63	0,57 0,65	0,56 0,68	0,61 0,74	2°39' 2°45'
Размер кристаллов не более 1 мк- крона	диск порошок — 60 мк	0,42 0,43	0,58 0,56	0,58 0,57	0,58 0,56	2°39' 2°39'